

# 成团泛菌 MFG-3 的分离鉴定及其腐殖质/Fe( III) 呼吸特性研究

武春媛<sup>1,2</sup>, 李芳柏<sup>2</sup>, 周顺桂<sup>2\*</sup>, 庄莉<sup>2</sup>, 王跃强<sup>2</sup>

(1. 中国科学院广州地球化学研究所, 广州 510640; 2 广东省生态环境与土壤研究所广东省农业环境综合治理重点实验室, 广州 510650)

**摘要:** 从地下古森林沉积物样品中富集分离到 1 株腐殖质/Fe( III) 还原菌 MFG-3 菌株, 经 16S rDNA 基因序列分析, 该菌与成团泛菌 *Pantoea agglomerans* WAB1951 的相似性为 99%, 确定为成团泛菌。通过序批式厌氧实验考察了 MFG-3 的腐殖质呼吸活性、电子利用情况以及对 4 种铁氧化物的还原活性。结果表明, MFG-3 能够以 AQDS 为唯一电子受体进行厌氧胞外呼吸, 可利用的电子供体有: 甲酸、乳酸、丙三醇、柠檬酸、葡萄糖和蔗糖, 且 AQDS 还原速率顺序为: 蔗糖> 葡萄糖> 柠檬酸> 乳酸> 丙三醇> 甲酸; 以葡萄糖作为电子供体时, 48 h 内 0.3 mmol·L<sup>-1</sup> 的 AQDS 被还原, 同时 4.5 mmol·L<sup>-1</sup> 葡萄糖被消耗, 菌数增殖近 7 倍, 证明 MFG-3 能够进行腐殖质呼吸; MFG-3 还能以多种 Fe( II) 氧化物为电子受体进行厌氧呼吸, 25 d 内分别有 2.5 mmol·L<sup>-1</sup> 水铁矿、2.1 mmol·L<sup>-1</sup> 纤铁矿、2.3 mmol·L<sup>-1</sup> 针铁矿及 0.8 mmol·L<sup>-1</sup> 赤铁矿被还原溶解。本研究为胞外呼吸研究与应用提供 1 株适宜的模式菌株。

**关键词:** 成团泛菌; 腐殖质; 铁氧化物; 腐殖质/Fe( III) 呼吸; 胞外呼吸

中图分类号: X172 文献标识码: A 文章编号: 0250-3301(2010)01-0237-06

## Isolation and Characterization of a Facultative Anaerobe *Pantoea agglomerans* MFG-3 and Its Humic Substance-and Fe( III)-Respiring Activity

WU Chun-yuan<sup>1,2</sup>, LI Fang-bai<sup>2</sup>, ZHOU Shun-gui<sup>2</sup>, ZHUANG Li<sup>2</sup>, WANG Yue-qiang<sup>2</sup>

(1. Guangzhou Institute of Geochemistry, Chinese Academy of Sciences, Guangzhou 510640, China; 2. Guangdong Key Laboratory of Agricultural Environment Pollution Integrated Control, Guangdong Institute of Eco-Environmental and Soil Sciences, Guangzhou 510650, China)

**Abstract:** A strain of humic substance- and Fe( III)-reducing bacterium was isolated from the subterranean forest sediment and designated as MFG-3. The strain is facultative anaerobic, Gram-negative, motile and rod (1.0~3.0 μm long, 0.5~1.0 μm wide) and identified as *Pantoea agglomerans* with the 16S rDNA sequence analyses. Batch experiments were conducted to investigate its humic substance- and Fe( III)-respiring activity. The results showed that MFG-3 was capable of anaerobic respiration on anthraquinone 2,6-disulphonate (AQDS) as the sole terminal electron acceptor with glucose as the electron donor. Within 48 h, MFG-3 could reduce 0.3 mmol·L<sup>-1</sup> AQDS at the expense of 4.5 mmol·L<sup>-1</sup> glucose, and the population of bacteria was increased by 7 times. The strain could use sucrose, glucose, citrate, lactate and fomate as electron donors for anaerobic respiration, and the reduction rates of AQDS ranked as sucrose (77%) > glucose (66%) > citrate (50%) > lactate (33%) > glycerol (25%) > fomate (17%). MFG-3 can also effectively reduce four types of Fe( III) oxides. After 25 d, the total Fe( II) concentration in the tests of using ferrhydrite, α-FeOOH, γ-FeOOH or α-Fe<sub>2</sub>O<sub>3</sub> as electron acceptor reached 2.5, 2.1, 2.3 and 0.8 mmol·L<sup>-1</sup>, respectively. As a strain of environmental origin, MFG-3 is quite useful for the study of extracellular respiration and bioremediation of chlorinated organic pollutants in Fe( III)/humic substance-rich environments.

**Key words:** *Pantoea agglomerans*; humic substance; Fe( III) oxides; humic substance/Fe( III) respiration; extracellular respiration

腐殖质呼吸和 Fe( III) 呼吸是近年来备受关注的新型微生物能量代谢方式<sup>[1~3]</sup>。腐殖质呼吸, 是指微生物以腐殖质为末端电子受体, 通过氧化电子供体偶联腐殖质还原, 并从这一过程中贮存生命活动的能量。过去普遍认为, 腐殖质不能参与微生物的生理代谢过程。1996 年, Lovley 等<sup>[3]</sup> 最先提出腐殖质呼吸的概念, 他们发现铁还原菌 *Geobacter metallireducens* 能利用纯化的腐殖质为电子受体, 将电子供体乙酸完全氧化为 CO<sub>2</sub>, Fe( III) 呼吸, 又称异化 Fe( III) 还

原, 它的末端电子受体为固态铁氧化物<sup>[4]</sup>。Fe( III) 呼吸和腐殖质呼吸是厌氧环境中 2 种最重要的胞外呼吸形式, 它们与普通胞内呼吸的显著区别是: 作为电子受体的腐殖质与 Fe( III) 氧化物在呼吸过程中不能

收稿日期: 2009-02-17; 修订日期: 2009-04-13

基金项目: 国家自然科学基金项目(2077013, 40801119); 广东省自然科学基金项目(815106500300005)

作者简介: 武春媛(1981~), 女, 博士研究生, 主要研究方向为厌氧微生物技术, E-mail: wuchunyuan1981@126.com

\* 通讯联系人, E-mail: sgzhou@sol.gd.cn

进出细胞内, 而呼吸链上的电子通过特殊的途径传递至胞外电子受体<sup>[2, 5, 6]</sup>。

目前, 腐殖质/Fe( III) 呼吸的环境重要性已被广泛接受与认同<sup>[6~ 10]</sup>: ①充当有机物矿化的电子受体, 直接参与碳循环过程。据报道, 在某些淡水沉积物中, 腐殖质/Fe( III) 呼吸直接导致了 80% 以上的有机碳矿化, 其贡献超过硝酸盐呼吸、硫酸盐呼吸、产甲烷作用等其它厌氧方式的总和; ②充当有机污染物氧化降解的电子受体。苯、甲苯、二甲苯、苯酚、氯乙烯等难降解污染物都被报道在腐殖质/Fe( III) 呼吸条件下矿化<sup>[6]</sup>; ③作为电子穿梭体, 加速可还原性污染物( 有机氯、偶氮染料等) 的还原降解与重金属还原脱毒<sup>[5, 10]</sup>。

能进行腐殖质呼吸的微生物称为腐殖质还原菌, 一般来说, 腐殖质还原菌大都具有Fe( III) 呼吸活性, 因此统称为腐殖质/Fe( III) 还原菌<sup>[9]</sup>。迄今为止, 已从土壤、沉积物、污泥等厌氧环境中分离到上百株腐殖质/Fe( III) 还原菌, 大多数分布在地杆菌属(*Geobacter*) 和希瓦氏菌属(*Shewanella*)<sup>[11~ 14]</sup>。发现与分离新的高效腐殖质/Fe( III) 还原菌, 是胞外呼吸研究的基础。2008 年, 本课题组报道了肠杆菌属 *Klebsiella pneumoniae* L1<sup>[15]</sup> 与丛毛单胞菌属 *Comamonas koreensis* CY01 菌株<sup>[16]</sup>的腐殖质/Fe( III) 呼吸特性。但是, 有关泛菌属的腐殖质/Fe( III) 呼吸特性的研究国内鲜见报道。本实验从古森林沉积物样品中分离到 1 株具有腐殖质/Fe( III) 呼吸活性的成团泛菌 MFG-3, 研究了其电子供体利用谱, 考察了它对 4 种铁氧化物的厌氧还原能力。

## 1 材料与方法

### 1.1 培养基组成

基础厌氧培养基(BAS), 每 L 含 NaHCO<sub>3</sub> 2.5 g, NH<sub>4</sub>Cl 0.25 g, NaH<sub>2</sub>PO<sub>4</sub> 0.6 g, KCl 0.1 g, 酵母浸提物 0.2 g, 1% (体积分数) 维生素储备液及 1% (体积分数) 微量元素储备液。富集培养基, 在已灭菌的 BAS 中添加灭过菌的 0.5 mmol·L<sup>-1</sup> AQDS 作为微生物厌氧呼吸的电子受体和 5 mmol·L<sup>-1</sup> 葡萄糖作为电子供体。AQDS 固体培养基, 在富集培养基中添加 1.8% 琼脂粉, 灭菌后分装于平板培养皿, 备用。AQDS 还原和铁氧化物还原实验所用培养基, 在已灭菌的 BAS 培养基中添加 5 mmol·L<sup>-1</sup> 甲酸、乙酸、丙酸、柠檬酸、乳酸、乙醇、丙三醇、葡萄糖或蔗糖作为电子供体, 25 mmol·L<sup>-1</sup> 水铁矿(ferrihydrite)、针铁矿( $\alpha$ -FeOOH)、纤铁矿( $\gamma$ -FeOOH)、赤铁矿( $\alpha$ -Fe<sub>2</sub>O<sub>3</sub>)。

或 0.5 mmol·L<sup>-1</sup> AQDS 作为电子受体。

腐殖质模式物蒽醌-2, 6-二磺酸(Anthraquinone-2, 6-disulphonate, AQDS) 购自 Sigma 公司, 为分析纯; 铁氧化物的合成参见文献[17]。

### 1.2 样品来源及富集分离

样品采自广东省四会地下古森林沉积物[<sup>14</sup>C] 年龄为(3 100 ± 29) aB. P. ]。将富集培养基分装于 100 mL 西林瓶中(每瓶 45 mL), 接种 5 mL 沉积物样品, 充 N<sub>2</sub>/CO<sub>2</sub>(80/20, 体积比) 混合气 30 min 排氧, 盖橡胶塞, 并迅速压铝盖密封, 静置于厌氧工作站 30 °C 厌氧培养, 观察体系颜色变化。当体系颜色逐渐变黄并趋于稳定时, 以 10% 的接种量转接于另一新鲜的富集培养基中, 如此转接 3 次。最后系列稀释后涂平板, 30 °C 培养, 5 d 后培养基表面形成单菌落。根据菌落特征差异挑取单菌落于新鲜富集培养基中再次培养, 以验证纯菌厌氧还原 AQDS 的能力, 当体系颜色由无色变橙黄色表明菌株具有还原 AQDS 特性<sup>[16]</sup>。将纯化菌种斜面划线保存。

### 1.3 菌株的鉴定

参考《常见细菌系统鉴定手册》对菌株进行基本生理生化特征鉴定。使用 BIOLOG(GN2) 微生物鉴定系统检测菌株在好氧条件下的碳源利用情况。取对数生长期新鲜菌液, 4 000 r/min 离心收集菌体, 用扫描电子显微镜观察细胞, 并测定其大小。16S rDNA 序列的测定参见文献[18], 即用常规方法提取基因组 DNA 后, 采用细菌通用引物 F27 和 R1492 进行 PCR 扩增菌株的 16S rDNA, 扩增后的产物进行直接测序, 利用 BLAST 将所得序列与 GenBank/EMBL/DDBJ 等数据库中已登录的序列进行同源性比较, 采用 Clustalx Version 1.83 进行序列比对, 采用 MEGA Version 4.0 软件, 据邻接法构建系统发育树。

### 1.4 腐殖质/Fe( III) 还原实验

菌悬液制备: 将菌株接种于 LB 液体培养基中, 30 °C 好氧培养 18 h, 4 000 r/min 离心收集菌体, 再用 BAS 培养基洗涤菌体 2 次, 最后将菌体悬浮于新鲜的 BAS 中, 制成菌悬液, 使其光密度达到 0.13~0.15 ( $\lambda = 600$  nm)。将 1 mL 菌悬液接种于 AQDS/铁氧化物还原培养基中, 培养条件同富集分离。以不加菌悬液和不加电子供体的体系作为对照, 每个体系作 3 个重复, 不同时间点取样测定各体系中还原产物总 Fe( II)、或 AQDS 还原产物 AHQDS、葡萄糖以及活菌数的变化<sup>[15, 16, 19]</sup>。采用平板稀释涂布直接计数法测定菌数变化。

## 2 结果与分析

经过定向富集、纯化, 获得 1 株高效 AQDS 还原菌株(12 h 即可观察到 AQDS 溶液变色), 命名为 MFG-3, 作进一步鉴定和腐殖质/Fe( III) 呼吸特性研究。

### 2.1 菌株 MFG-3 的鉴定结果

#### 2.1.1 菌体形态

MFG-3 菌株为革兰氏阴性杆菌, 兼性厌氧, 短杆状, 大小为(0.5~1.0)  $\mu\text{m} \times (1.0~3.0) \mu\text{m}$ , 单个或成对(图 1), 周生鞭毛, 具运动性。在牛肉膏蛋白胨琼脂固体培养基平板上好氧培养 24 h 后, 菌落表面光滑, 半透明, 边缘整齐, 菌落直径为 2.0~3.0 mm。

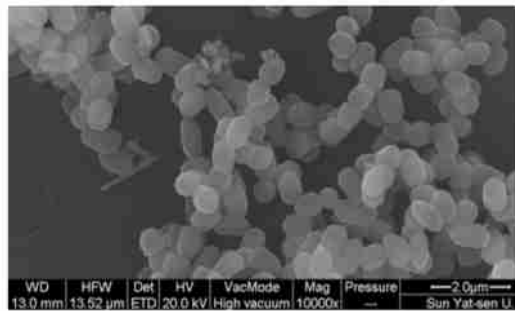


图 1 *P. agglomerans* MFG-3 的扫描电镜照片

Fig. 1 SEM of the strain MFG-3

#### 2.1.2 生理生化特征

MFG-3 能在 5~40℃ 下生长, 最适生长温度为 30℃。生长 pH 范围为 5.5~8.0。其它生理生化特征

列于表 1。根据形态和生理生化特征, 初步鉴定该菌属于肠杆菌科泛菌属。

表 1 *P. agglomerans* MFG-3 的生理生化特征<sup>1)</sup>

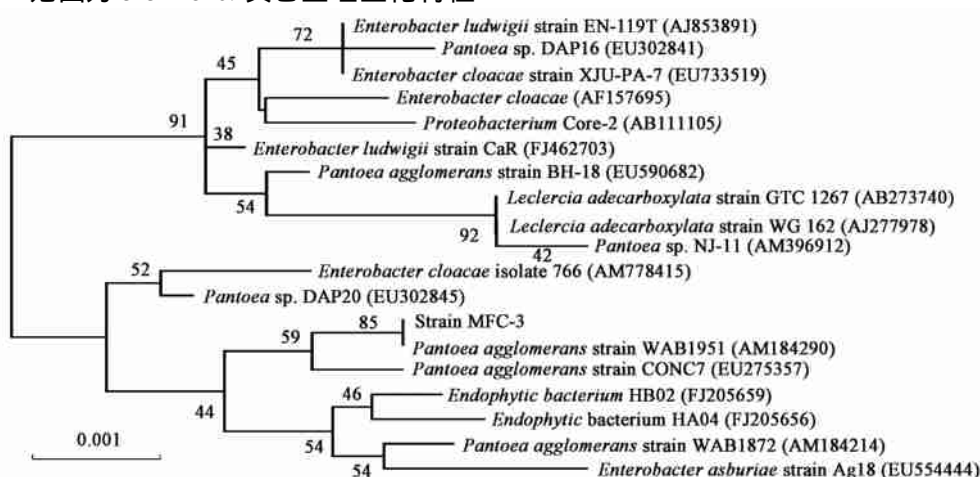
Table 1 Phenotypic characteristics of the strain MFG-3

| 项目      | 结果        | 项目      | 结果 |
|---------|-----------|---------|----|
| 革兰染色    | -         | 明胶液化    | -  |
| 运动性     | +         | 硫化氢试验   | -  |
| 氧化酶     | -         | ONPG 测定 | +  |
| 硝酸盐还原   | +         | 吲哚试验    | -  |
| 接触酶     | +         | 苯丙氨酸脱氨酶 | -  |
| 葡萄糖氧化发酵 | 产酸产气, 发酵型 | 精氨酸双水解酶 | -  |
| 甲基红试验   | -         | 赖氨酸脱羧酶  | +  |
| V-P 测定  | +         |         |    |

1)“+”表示呈阳性, “-”表示呈阴性

#### 2.1.3 系统发育学分析

通过 PCR 扩增, 得到菌株长为 1 410 bp 的 16S rDNA 的基因序列, 采用 BLAST 将该序列与 GenBank 中已登录的基因序列进行相似性比对, 结果发现与 MFG-3 同源性最高的菌株是肠杆菌科泛菌属的成团泛菌 *Pantoea agglomerans* strain WAB1951, 同源性为 99%。从比对结果中选择与菌株 MFG-3 同源性相近的 18 个菌种的 16S rDNA 做出系统进化树(图 2)。结果发现, 所选菌株在系统进化树中分为 2 个类群, 菌株 MFG-3 处于 *E. cloacae*/*E. asburiae* 类群之中, 与 *P. agglomerans* strain WAB1951 亲缘关系最为接近。综合菌株 MFG-3 的生理生化特征及分子生物学特性, 确定该菌为成团泛菌, 最终命名为 *Pantoea agglomerans* MFG-3。



对腐殖质模式物 AQDS 的厌氧还原活性。图 3 显示, 以甲酸、丙三醇、乳酸作为电子供体时, 24 h 内菌株对 AQDS 几乎没有还原, 但 24 h 后 AQDS 还原启动并加速, 60 h 时还原率可达 30% 左右; 而以蔗糖和葡萄糖作为电子供体时, 12 h 时即有还原现象发生, 还原速率都较快, 60 h 时 AQDS 还原率分别可达 77% 与 66%。未加菌体的对照体系中, 仅葡萄糖和

蔗糖对 AQDS 有少量还原, 低于 0.04 mmol·L<sup>-1</sup>, 未加电子供体的对照体系, AQDS 几乎没有还原。以上结果表明, 菌株 MFG-3 能利用蔗糖、葡萄糖、柠檬酸、丙三醇、乳酸、甲酸为电子供体, 还原 AQDS, 且还原能力由大到小为蔗糖> 葡萄糖> 柠檬酸> 乳酸> 丙三醇> 甲酸, 但乙酸、丙酸、乙醇不能作为有效的电子供体支持菌株还原 AQDS( 数据未列出)。

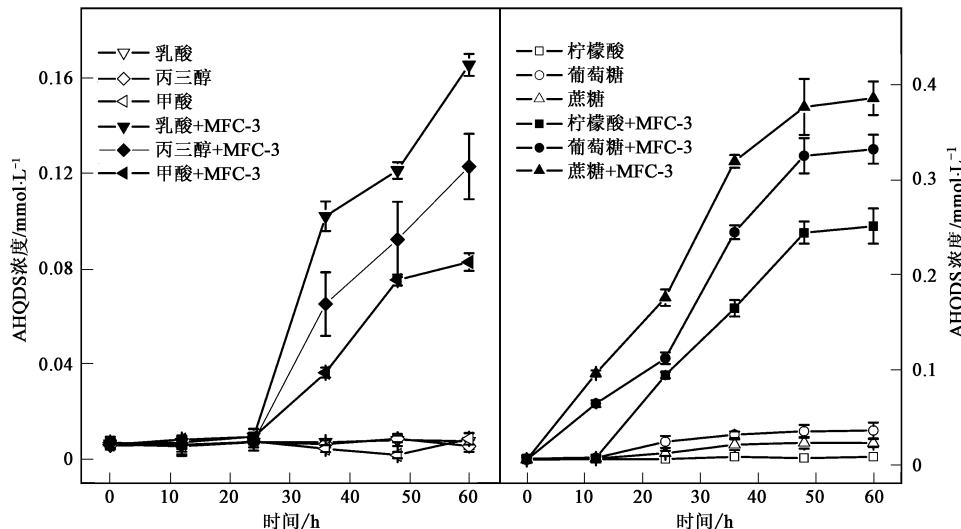


图 3 不同电子供体下 MFG-3 对 AQDS 的还原动态

Fig. 3 Reduction of AQDS by the strain MFG-3 with different organic substances as electron donors under anaerobic condition

## 2.2.2 以 AQDS 为唯一电子受体的菌株生长

厌氧条件下, 以葡萄糖作为电子供体, 研究了菌株 MFG-3 能否在还原 AQDS 的同时进行生长增殖。结果显示(图 4), 随着 AQDS 的还原和葡萄糖的消耗, 在 10 h 内菌株数量就表现出明显的增长, 在后续的培养时间, 菌数不断增加, 50~60 h 基本趋于稳定, 达到  $7 \times 10^7$ , 增长近 7 倍。而未加葡萄糖的对照体系 AQDS/MFG-3 中, 菌体没有明显的生长现象。表明 MFG-3 在 AQDS 的还原过程中能够产生能量支持菌体增殖, 这一过程属于微生物厌氧呼吸代谢形式, 菌株具有腐殖质呼吸活性。

## 2.3 铁氧化物还原活性

研究了菌株 MFG-3 对 4 种铁氧化物(ferrihydrite、 $\gamma$ -FeOOH、 $\alpha$ -FeOOH、 $\alpha$ -Fe<sub>2</sub>O<sub>3</sub>)的厌氧还原特性, 添加葡萄糖作为电子供体。图 5 显示, 在以 4 种 Fe( III) 氧化物为电子受体的反应体系中, 还原产物 Fe( II) 浓度随时间不断增加。25 d 时, 分别有 2.5、2.1、2.3、0.8 mmol/L 的 ferrihydrite、 $\alpha$ -FeOOH、 $\gamma$ -FeOOH、 $\alpha$ -Fe<sub>2</sub>O<sub>3</sub> 被微生物还原, 而不加菌的对照体系中只有少量 Fe( II) 被还原, 不加电子供体的对照体系中几乎没有 Fe( II) 生成。以上结果表明, 菌株

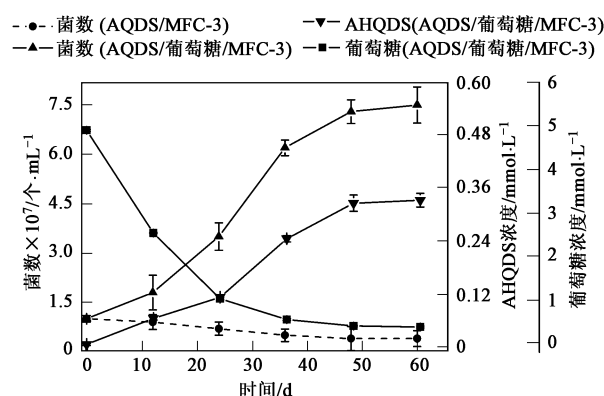


图 4 以葡萄糖作为电子供体, AQDS 作为电子受体时, 菌株 MFG-3 的生长曲线

Fig. 4 Growth of MFG-3 with AQDS as the sole terminal electron acceptor and glucose as the electron donor

MFG-3 能以 4 种铁氧化物为电子受体进行厌氧代谢, 且还原溶解速率顺序为: ferrihydrite >  $\gamma$ -FeOOH >  $\alpha$ -FeOOH >  $\alpha$ -Fe<sub>2</sub>O<sub>3</sub>。Fe( III) 生物还原受多种因素影响, 包括碳源的种类和含量、菌体的生长状态、铁矿物的理化性质<sup>[20]</sup>。其中, Fe( II) 氧化物的晶型结构、比表面积等物理性质被认为是影响还原速率

的主要因素<sup>[20~22]</sup>, 一般来说, 结晶度越好, 比表面积越小, 越难被微生物还原。本实验结果符合这一规律: ferrihydrite 结晶度差, 比表面积大, 最易被还原;

$\alpha$ -FeOOH 和  $\gamma$ -FeOOH 的比表面积相近, 还原速率也相近;  $\alpha$ -Fe<sub>2</sub>O<sub>3</sub> 比表面积最小( $29.4\text{ m}^2\cdot\text{g}^{-1}$ ), 相应最难被还原。

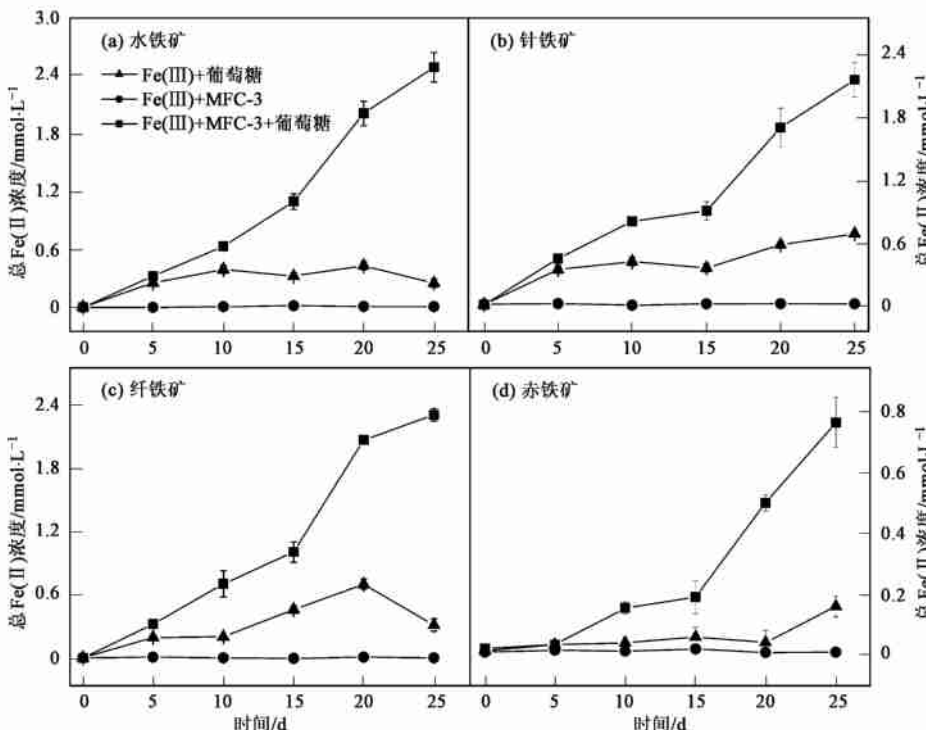


图 5 以葡萄糖为电子供体时, 菌株 MFG-3 对 4 种铁氧化物的还原动态

Fig. 5 Reduction of iron oxides by the strain MFG-3 with glucose as the electron donor under anaerobic condition

### 3 讨论

腐殖质/Fe( III) 呼吸作为新的呼吸代谢模式, 是厌氧环境中一种重要的电子转移途径, 具有重要的环境学意义与应用价值<sup>[23]</sup>。腐殖质/Fe( III) 还原(呼吸)条件下的污染物原位生物修复已成为国际热门领域<sup>[2, 10, 15]</sup>。腐殖质/Fe( III) 还原菌驱动的有机物矿化与污染物降解过程为<sup>[2, 3, 9]</sup>: 还原菌在腐殖质/Fe( III) 呼吸作用中氧化电子供体(即有机物矿化),

将电子传递给  $\text{HS}_{\text{ox}}$ ,  $\text{HS}_{\text{ox}}$  得到电子被还原, 还原态的  $\text{HS}_{\text{red}}$  又将电子传递给 Fe( III) 氧化物同时氧化再生成  $\text{HS}_{\text{ox}}$ , Fe( III) 氧化物接受电子后转化成吸附态 Fe( II), 吸附态 Fe( II) 最后将电子传递给可还原污染物[ 有机氯、偶氮污染、硝基苯类、Cr( VI) 等 ], 如此循环往复, 即使低浓度的腐殖质或 Fe( II) 也可以发挥重要的作用。在这一胞外电子传递过程中, 腐殖质/Fe( III) 还原菌是核心驱动力, 而腐殖质与 Fe( III) 是电子穿梭体, 它们协同促进作为电子供体的有机

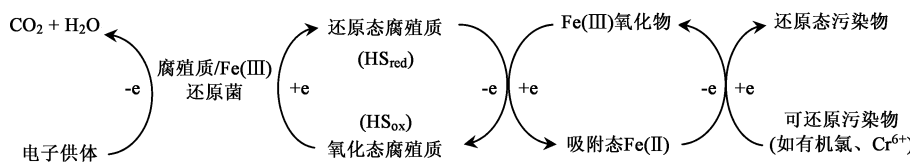


图 6 腐殖质/Fe( III) 还原菌驱动的污染物原位生物修复

Fig. 6 *In situ* bioremediation driven by humics- and Fe( III)-reducing bacteria

物矿化与作为末端电子受体的污染物降解。

腐殖质/Fe( III) 还原菌在厌氧环境中普遍存在性已被大量研究所证实<sup>[7, 8]</sup>。腐殖质/Fe( III) 还原菌

分为兼性厌氧和严格厌氧, 常用的电子供体类型有:

- ① 甲酸、乙酸、丙酸、乳酸等有机酸;
- ② 葡萄糖、蔗糖等碳水化合物;
- ③ 苯、甲苯、苯酚、苯甲酸等芳香族化

合物. 腐殖质/Fe( III) 还原菌能氧化上述电子受体, 使其彻底矿化成 CO<sub>2</sub> 和 H<sub>2</sub>O<sup>[4,9]</sup>. 从应用角度来说, 兼性厌氧、电子供体利用谱广泛的菌株, 易于扩大生产、存活适应性强, 因而更具应用潜力. 本研究获得的成团泛菌 MFG-3 菌株即具备这一优势, 它既可以利用短链有机酸, 如甲酸、乳酸、柠檬酸, 又可利用葡萄糖和蔗糖等碳水化合物进行腐殖质/Fe( III) 呼吸. 而且, 由于它属兼性厌氧菌, 本课题组已利用传统的深层好氧发酵法扩大培养, 然后与腐殖质或者 Fe( III) 氧化物复配, 制备成复合微生物菌剂<sup>[24,25]</sup>, 用于有机氯污染土壤的原位生物修复.

#### 4 结论

(1) 从古森林沉积物中分离到 1 株腐殖质/Fe( III) 还原菌 MFG-3, 经生理生化鉴定和 16S rDNA 序列分析, 确定为成团泛菌 *Pantoea agglomerans* MFG-3.

(2) MFG-3 菌株具有腐殖质还原活性, 能够以腐殖质模式物 AQDS 为唯一电子受体进行厌氧胞外呼吸, 可利用的电子供体有: 甲酸、乳酸、丙三醇、柠檬酸、葡萄糖和蔗糖, 但乙酸、丙酸和乙醇不能作为其电子供体.

(3) MFG-3 菌株能以多种Fe( III) 氧化物为电子受体进行厌氧呼吸, 4 种Fe( III) 氧化物的还原溶解速率顺序为: 水铁矿 (ferrihydrite) > 纤铁矿 ( $\gamma$ -FeOOH) > 针铁矿 ( $\alpha$ -FeOOH) > 赤铁矿 ( $\alpha$ -Fe<sub>2</sub>O<sub>3</sub>).

(4) MFG-3 菌株兼性厌氧、腐殖质/Fe( III) 还原能力较强、电子供体利用谱较宽, 是 1 株适宜的腐殖质/Fe( III) 还原模式菌株.

#### 参考文献:

- [ 1 ] Lovley D R. Organic matter mineralization with the reduction of ferric iron: A review [ J ]. Geomicrobiol J, 1987, 5( 3-4 ): 375-399.
- [ 2 ] Weber K A, Achenbach L A, Coates J D. Microorganisms pumping iron: anaerobic microbial iron oxidation and reduction [ J ]. Nat Rev Micro, 2006, 4( 10 ): 752-764.
- [ 3 ] Lovley D R, Coates J D, Blunt-harris E L, et al. Humic substances as electron acceptors for microbial respiration [ J ]. Nature, 1996, 382: 445-448.
- [ 4 ] Lovley D R, Holmes D E, Nevin K P. Dissimilatory Fe( III) and Mn( IV) reduction [ J ]. Adv Microb Physiol, 2004, 49: 219-286.
- [ 5 ] Lovley D R, Phillips E J P, Gorby Y A, et al. Microbial reduction of uranium [ J ]. Nature, 1991, 350: 413-416.
- [ 6 ] Gralnick J A, Newman D K. Extracellular respiration [ J ]. Molecular Microbiology, 2007, 65( 1 ): 1-11.
- [ 7 ] Coates J D, Cole K A, Chakrabarty R, et al. Diversity and ubiquity of bacteria capable of utilizing humic substances as electron donors for anaerobic respiration [ J ]. Appl Environ Microbiol, 2002, 68( 5 ): 2445-2452.
- [ 8 ] Jiang J, Kappler R. Kinetics of microbial and chemical reduction of humic substances: Implications for electron shuttling [ J ]. Environ Sci Technol, 2008, 42( 10 ): 3563-3569.
- [ 9 ] Van Trump J I, Sun Y, Coates J D. Microbial interactions with humic substances [ J ]. Adv Appl Microbiol, 2006, 60: 55-96.
- [ 10 ] Fredrickson J K, Gorby Y A. Environmental processes mediated by iron-reducing bacteria [ J ]. Curr Opin Biotechnol, 1996, 7( 3 ): 287-294.
- [ 11 ] Benz M, Schink B, Brune A. Humic acid reduction by *Propionibacterium freudenreichii* and other fermenting bacteria [ J ]. Appl Environ Microbiol, 1998, 64( 11 ): 4507-4512.
- [ 12 ] Luijten M L, Welink S A, Godschalk B, et al. Anaerobic reduction and oxidation of quinone moieties and the reduction of oxidized metals by halo-respiring and related organisms [ J ]. FEMS Microbiol Eco, 2004, 49( 1 ): 145-150.
- [ 13 ] O'Loughlin E J. Effects of electron transfer mediators on the bioreduction of lepidocrocite by *Shevanella putrefaciens* CN32 [ J ]. Environ Sci Technol, 2008, 42( 18 ): 6876-6882.
- [ 14 ] Wrighton K C, Agbo P, Wamecke F, et al. A novel ecological role of the Firmicutes identified in thermophilic microbial fuel cells [ J ]. ISME J, 2008, 2( 11 ): 1146-1156.
- [ 15 ] Li X M, Zhou S G, Li F B, et al. Fe( III) oxide reduction and carbon tetrachloride dechlorination by a newly isolated *Klebsiella pneumoniae* strain L17 [ J ]. J Appl Microbiol, 2009, 106( 1 ): 130-139.
- [ 16 ] Wang Y B, Wu C Y, Wang X J, et al. The role of humic substances in the anaerobic reductive dechlorination of 2,4-D by *Comamonas koreensis* strain CY01 [ J ]. J Hazard Mater, 2009, 164( 2-3 ): 941-947.
- [ 17 ] Li F B, Li X Z, Li X M, et al. Heterogeneous photodegradation of bisphenol A with iron oxides and oxalate in aqueous solution [ J ]. J Colloid Interface Sci, 2007, 311( 2 ): 481-490.
- [ 18 ] Chang Y H, Han J I, Chun J, et al. *Comamonas koreensis* sp. nov., a non-motile species from wetland in Woopo, Korea [ J ]. Int J Syst Evol Microbiol, 2002, 52( 2 ): 377-381.
- [ 19 ] Hong Y G, Guo J, Xu Z C, et al. Humic substances act as electron acceptor and redox mediator for microbial dissimilatory azoreduction by *Shevanella decolorationis* S12 [ J ]. J Microbiol Biotechnol, 2007, 17( 3 ): 428-437.
- [ 20 ] Zachara J M, Fredrickson J K, Li S M, et al. Bacterial reduction of crystalline Fe<sup>3+</sup> oxides in single phase suspensions and subsurface materials [ J ]. Am Mineral, 1998, 83( 11-12 ): 1426-1443.
- [ 21 ] Liu C, Kota S, Zachara J M, et al. Kinetic analysis of the bacterial reduction of goethite [ J ]. Environ Sci Technol, 2001, 35( 12 ): 2482-2490.
- [ 22 ] Roden E E. Fe( III) oxide reactivity toward biological versus chemical reduction [ J ]. Environ Sci Technol, 2003, 37( 7 ): 1319-1324.
- [ 23 ] 武春媛, 李芳柏, 周顺桂. 腐殖质呼吸作用及其生态学意义 [ J ]. 生态学报, 2009, 29( 3 ): 1535-1542.
- [ 24 ] 李芳柏, 周顺桂, 李晓敏, 等. 一种可加速有机氯降解的铁还原菌——矿物复合菌剂及其制备方法 [ P ]. 中国发明专利, CN 101096646A: 2008-01-02.
- [ 25 ] 周顺桂, 武春媛, 王跃强, 等. 一株成团泛菌及其应用 [ P ]. 中国发明专利, 申请号: 200810198452, 2008-09-08.